

INK-JET RECORDING APPARATUS

Patent number: JP11105276
Publication date: 1999-04-20
Inventor: SASAI KOSUKE; YASUTOMI HIDEO
Applicant: MINOLTA CO LTD
Classification:
- **international:** B41J2/045; B41J2/055
- **european:**
Application number: JP19970267011 19970930
Priority number(s):

[Report a data error here](#)

Abstract of JP11105276

PROBLEM TO BE SOLVED: To achieve a drastic high recording speed by absorbing a irradiated light beam and converting the same to heat by a heat converting means, heating a liquid in a liquid room so as to be vaporized, causing deformation of partition wall by the volume expansion of the liquid room for forcing an ink into a pressure room and pressing the ink so as to be jumped from a nozzle.

SOLUTION: A laser beam irradiated to an exposed part 15 of a heat conductive layer 14 via a light irradiating opening 30 is absorbed so as to be converted to heat. The liquid inside a liquid room 32 is heated by the heat instantly so as to partially vaporize the liquid to expand the volume of the liquid room 32. According to the volume expansion, a partition wall 18 is deformed so as to be forced to an ink pressure room 34 side for pressing an ink so that ink droplets are jumped from a nozzle 42. The ink droplets are attached onto a recording paper so as to form dots for recording an image by the dots. After finishing the laser irradiation, the bubbles inside the liquid room 32 is cooled down so that the partition wall 18 regains the original shape. By the negative pressure generated in the ink pressure room 34 and the capillary phenomenon, the ink is charged to the ink pressure room 34.

Data supplied from the esp@cenet database - Patent Abstracts of Japan

BEST AVAILABLE COPY

(19) 日本特許庁 (JP)

(12) 公開特許公報 (A)

(11) 特許出願公開番号

特開平11-105276

(63) 公開日 平成11年(1999)4月20日

(31) Int.CI^{*}
B 41 J 2/045
2/085

類別記号

F 1
B 41 J 3/04

109A

審査請求 未請求 総項数の数1 O.L (全 7 頁)

(21) 出願番号 特願平9-267011

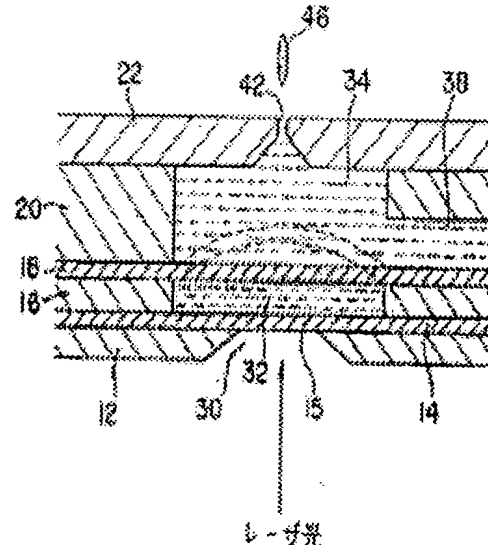
(22) 出願日 平成9年(1997)9月30日

(71) 出願人 000008079
ミノルタ株式会社
大阪府大阪市中央区安土町二丁目3番13号
大阪国際ビル(72) 発明者 桑井 治介
大阪府大阪市中央区安土町二丁目3番13号
大阪国際ビル ミノルタ株式会社内(73) 連絡者 保富 茂雄
大阪府大阪市中央区安土町二丁目3番13号
大阪国際ビル ミノルタ株式会社内

(74) 代理人 伊藤士 審山 勝 (外3名)

(54) 【発明の名称】 インクジェット記録装置
(57) 【要約】

【課題】 熱熱体やビエゾ素子等のエネルギー発生手段を複数のインク加圧室にそれぞれ対応して設けずにインク発射を可能にしたインクジェット記録装置を提供する。
 【解決手段】 本発明のインクジェット記録装置10は、光を吸収して熱に変換する熱伝導層14と、この熱伝導層14に接触して設けられ、内部に液体を封入した液体室32と、この液体室32の底部を形成し、上記熱による液体室の体積膨張によって変形可能な隔壁18と、この隔壁18を介して上記液体室32に対向し、上記隔壁18の突起により加圧されるインクを貯蓄したインク加圧室42と、加圧されたインク加圧室42内のインクを角端させたノズル46と、を備えている。



BEST AVAILABLE COPY

【特許請求の範囲】

【請求項 1】 光を吸収して熱に変換する熱変換手段と、この熱変換手段に隣接して設けられ、内部に液体を封入した液体室と、この液体室の底部を形成し、上記熱による液体室の体積膨張によって変形可能な隔壁と、この隔壁を介して上記液体室に対向し、上記隔壁の変形により加圧されるインクを収容したインク加圧室と、加圧されたインク加圧室内のインクを飛翔させるノズルと、を備えたインクジェット記録装置。

【発明の詳細な説明】

【0001】

【発明の属する技術分野】 本発明は、画像信号に応じてインクを飛翔させ、記録媒体に付着させて画像を記録するインクジェット記録装置に関する。

【0002】

【従来の技術】 現在、実用化されているインクジェットカラーフィンタでは、発熱体加熱によりインク中にバブルを発生させ、バブルの膨張力によってインクを飛翔させるバブルジェット方式と、電圧印加時のビエゾ素子の変形によりインクを加圧して飛翔させる方式が主流になっている。

【0003】

【発明が解決しようとする課題】 しかしながら、上記バブルジェット方式では、インクが直接加熱される場合、インクの熱変質やこげが発生し、こげにより生じた圓形物の付着により熱効率が低下してインク飛翔状態が変化したり、上記圓形物がインク中に流出してノスル詰まりやすいという問題があった。また、各インクチャンネルに対応して複数の発熱体を高密度に配列する必要があり、かつ各発熱体に対応するドライバがそれぞれ必要であることからコストアップにつながっていた。

【0004】一方、ビエゾ素子を用いた方式では、ビエゾ素子自体が高価であるとともに、高密度配置のための微細加工が容易ではなかった。

【0005】さらに、両方式のいずれの場合にも、高密度に配列された発熱体またはビエゾ素子から個々に駆動用電気配線を引き出し、それらを対応するドライバにそれぞれ接続する必要があり、製造が複雑になるとともにコストアップにつながっていた。

【0006】

【課題を解決するための手段】 そこで、本発明インクジェット記録装置は上記問題点を解決するため、光を吸収して熱に変換する熱変換手段と、この熱変換手段に隣接して設けられ、内部に液体を封入した液体室と、この液体室の底部を形成し、上記熱による液体室の体積膨張によって変形可能な隔壁と、この隔壁を介して上記液体室に対向し、上記隔壁の変形により加圧されるインクを収容したインク加圧室と、加圧されたインク加圧室内のインクを飛翔させるノズルと、を備えたものである。

【0007】

【発明の作用および効果】 本発明のインクジェット記録装置では、熱変換手段が照射された光を吸収して熱に変換する。この熱により液体室内の液体が加熱されて気化し、このときの液体室の体積膨張によって隔壁が変形してインク加圧室に押し込まれる。これによりインク加圧室内のインクが加圧されてノズルから飛翔する。

【0008】 このように本発明によれば、自由にエネルギーを発生する発熱体やビエゾ素子をインク加圧室に対応して設けていないので、高密度に配列する場合にも安価にでき、しかも接線の煩雑さもない。また、発熱体等のエネルギー発生手段がない分、構成が簡単になるので、インク加圧室およびノズルを高密度に、かつ記録媒体の全幅にわたって長く形成してフルライン化することが容易になる。フルライン化した場合、インクジェットヘッドをスキヤンせながら印字するタイプに比べて記録速度を大幅に高速化できる。

【0009】 さらに、本発明のインクジェット記録装置は発熱体を用いてインクを直接加熱するものではないので、インクの熱変質やこげを防止できる。その結果、インクの性質を安定維持できるとともに、インクこげによる圓形物の付着で熱効率が低下したり上記圓形物によるノズル詰まりが発生することもない。

【0010】

【発明の実施の形態】 以下、添付図面を参考して本発明の実施の形態について説明する。図1は本発明の一実施形態であるインクジェットヘッド10の部分平面図、図2はインクジェットヘッド10の切断面を含む斜視図である。図1、2に示すように、インクジェットヘッド10は、基板12、熱伝導層(熱変換手段)14、液体室形成部材16、隔壁18、インク流路部材20、およびノスルプレート22を積み重ねて一體的に接合して構成されている。

【0011】 基板12には、細長く延びるスリット状の光照射口30が形成されている。この光照射口30に熱伝導層14の部分15が露出しており、この露出部15にレーザ光が照射されるようになっている。熱伝導層14は複数の材料からなり、レーザ光を吸収して熱に変換する機能を有する。

【0012】 液体室形成部材16には複数の矩形開口部が上記光照射口30に沿って等間隔に形成されている。熱伝導層14の露出部15と隔壁18との間に挟まれて密封された上記各開口部の内部がそれぞれ液体室32となっている。このように、液体室32は熱伝導層14に隣接して設けられるとともに、隔壁18が液体室32の一方の端部をなしている。液体室32には、水またはオイル(例えば、白灯油、シリコーンオイル、フルオロシリコーンオイル等)が封入されている。

【0013】 インク流路部材20には複数の直通溝および溝状凹部が形成されている。これら直通溝および溝状凹部はノスルプレート22と隔壁18によって覆われて

おり、それらの内部にインクを収容する複数のインク加圧室④、複数用インクを収容するインク供給室⑤、各インク加圧室④をインク供給室⑤間にそれぞれ連通させる複数のインクインレット⑥が形成されている。これにより、インク供給口⑨からインク供給室⑤に供給されたインクは、それぞれ対応するインクインレット⑥を介して各インク加圧室④に収容されるようになっている。

【0014】図3、4に示すように、インク加圧室④は隔壁⑩を介して液体室⑨とに對向しており、液体室⑨と同様に導管間に配管されている。また、ノズルプレート⑪には、各インク加圧室④にそれぞれ連通する複数のノズル⑫が一直線上に導管間に形成されている。

【0015】図5に示すように、本実施形態のインクジェットヘッド①は、記録紙Pの全幅にわたって延びるフルライン状に形成されている。すなわち、インクジェットヘッド①は、スキャナ不要で所定位置に固定されていればよく、記録紙Pのみがインクジェットヘッド①のノズル面に對向しつつ矢印⑧方向に搬送されることによって記録が行われる。一方、半導体レーザ装置⑩から発射されたレーザ光は、音響光学効果素子⑤、ミラー⑤4、および光学系⑤6を介して回転するポリコンミラー⑤5に入射し、そこから18レンズ⑤6を介して発射されたレーザ光がインクジェットヘッド①の光照射口③⑩にスキャンしながら入射し、各液体室⑨に対応する熱伝導層④の露出部⑤に照射される。この際、レーザ光を絞り込むことにより高密度に配置された液体室⑨への書き込みが可能になる。

【0016】次に、図6、7を参照して上記インクジェットヘッド①による記録動作について説明する。画像印字信号が半導体レーザ装置⑩用のメモリに入力されると(S1)、まず、インクジェットヘッド①にインクが充填されていることを確認したうえで(S2)、ポリコンミラー⑤5を回転させる(S3)。そして、記録紙Pの搬送を開始し(S4)、記録紙Pの印字開始位置がノズル対向部に来たのに同期して画像印字信号に対応したレーザ照射を開始する(S5)。

【0017】図7に示すように、光照射口③⑩を介して熱伝導層④の露出部⑤に照射されたレーザ光は吸収されて熱に変換され、その熱によって液体室⑨内部の液体が瞬時に加熱され、液体の一部が気化して液体室⑨の体積が膨張する。この体積膨張によって隔壁⑩が変形し、図7において点線で示すようにインク加圧室④側に押し込まれる。これにより、インク加圧室④内のインクが加圧され、ノズル⑫からインク滴④6が飛翔する。このインク滴が記録紙に付着してドットを形成し、このドットの集合により画像が記録される。レーザ照射が終了すると、液体室⑨内の気泡が冷却されて液体状態に戻り、隔壁⑩からの形状に復帰する。この

ときインク加圧室④内に発生する負圧と毛管現象によりインクがインク供給室⑤からインク加圧室④に補給され、次のインク飛翔に備える。このようなインク飛翔動作が繰り返され、画像印字が終了すると(S6)、記録紙を示さない排紙トレイ上に排紙する(S7)。

【0018】このように本実施形態のインクジェットヘッド①では、自由にエネルギーを発達する発熱体やビニールホースをインク加圧室④に対応して設けていないので、インク加圧室④を高密度に配列する場合にも安価に構成することができ、しかも結構の煩雑さもない。また、発熱体等のエネルギー消費手段がない分、構成が簡単になるので、インク加圧室④およびノズル⑫を高密度に、かつ記録紙の全幅にわたって最も形成してフルライン化することが容易になる。フルライン化した場合、インクジェットヘッドをスキヤンさせながら印字するタイプに比べて記録速度を大幅に高速化できる。

【0019】さらに、本実施形態のインクジェットヘッドは発熱体でインクを加熱することができないので、インクの熱変質やこげを防止できる。その結果、インクの性質を安定して維持できるとともに、インクこげによる圓形物の付着で熱効率が低下してインク飛翔状態が変化したり上記圓形物でノズル詰まりが発生することもない。

【0020】なお、従来のバブルジェット方式のインクジェットヘッドでは、発熱体を覆う保護膜を設けて発熱体がインクと接触しないようにしたものがある。この保護膜には熱伝導性、耐熱性、耐衝撃性、高寿命が要求されるが、これら相反する条件を同時に満たすことは困難であるため寿命を犠牲にし、ヘッドをカートリッジ化して定期的に交換する方法が採用されている。しかし、これではランニングコストが高くなるとともに、交換したヘッドの廃棄による環境への影響が危惧される。これに対する本実施形態のインクジェットヘッドでは、熱伝導層および隔壁について寿命を犠牲にしなければならない要因がなく、これらに十分な耐久性を持たせることができるので、そのような不都合はない。

【0021】また、透明ガラスプレートを介してインクにレーザ光を照射して加熱するバブルジェット方式のインクジェットヘッドがあるが、この方法ではインクの熱変質やインクこげによる圓形物で熱効率の低下やノズル詰まりが発生するという不都合に加えて、ガラスプレートでのレーザ光の反射やインク中の光透過等のエネルギー損失が大きいため、エネルギーの大きいガスレーザ等を用いる必要がある。例えばガスレーザの場合には防爆装置や遮断装置が付いた光源を使わざるを得ないので、装置が大型化してしまうという欠点がある。これに対して本実施形態のインクジェットヘッドでは、レーザ光の吸収層を設けることで比較的エネルギーの小さい半導体レーザを使用することができ、装置を小型化することができる。

【0022】ところで、上記熱伝導層④に用いること

BEST AVAILABLE COPY

する材料としては、基本的には、光源の波長光を吸引して熱に液化する材料であるれば通用である。たとえば、加熱された液体に対する耐久性は、熱に吸収する耐久性が高いものが望ましい。また、液体の気化による体積膨張で発生する圧力に対する耐久性も要求される。これらの強度を満たすものとしては、聚酰、変形アクリル、リソホル、変形リソホル、ウレタン樹脂、ポリウレタン樹脂、ポリエチレン樹脂、アルミニウム、チタニウム、グラファイト、ブラック、導電性樹脂、導電性ゴム、グラスファイバーグラフト、クロム、めっきリソホル、有機酸樹脂や樹脂（アソ、ビスアソ樹脂、カーボンブラック樹脂、フロロシアン系樹脂等）を分散した樹脂材料、または他の透明性基板上にこれらを液化せしめたものを用いてよい。上記樹脂材料には、例えば、ポリエチレン樹脂、ポリイミド樹脂、シリコーン樹脂、アクリル樹脂、ポリカーボネート樹脂、ウレタン樹脂、ポリアセタール樹脂、液晶ポリマ、エポキシ樹脂等を用いることができる。なお、本実験形態の熱伝導率 1.4 には厚さ 1.7mm のクロムめっきリソホル（めっき $2.0\mu\text{m}$ ）を用いた。

【0023】上記液体変形部材 1.0 を構成する樹脂材料やコンポジット材料には、吸熱作用のある材料を用いるか、断熱材料を含むされた材料を用いるのが好ましい。これにより、レーザ光照射により液体変形部材に発生

した熱が周辺に伝達して発散するのを防止できる。エヌルギー $\times 10^3\text{J/m}^2\text{s}$ を小さくすることができる。断熱材料には、前記によれば、セラミック類として酸化チタン、酸化ジルコニア、酸化ケイ素、酸化アルミニウム、酸化ケイ素等があり、樹脂類としてクリコーン樹脂、ウレタン樹脂、ポリウレタン樹脂、フッ素化合物樹脂（四フッ化エチレン、フルオロシリコーン等）等があり、その他としては熱伝導率が低いもので液体変形部材の形状に加工できるものであれば使用でき、上記セラミックと樹脂のコンパウンド類を用いることもできる。なお、本実験形態では、液体変形部材 1.0 の材料としてウレタン樹脂中に酸化ケイ素を $1.0\text{wt}\%$ 混合したものを利用した。

【0024】上記課題 1.0 は融点 $T_m=200^\circ\text{C}$ の樹脂材料からなるフィルムで構成するのが好ましい。融点 $T_m=200^\circ\text{C}$ より小さいと液体変形部材の熱吸収による耐久性が低下し、ヘッド寿命が短縮されるからである。これを示す実験例および比較例が次の表 1 である。この表において、○は $1 \times 1.0\text{S回以上}$ 、△は $1 \times 1.0\text{S回}$ 、△は $1 \times 1.0\text{S~6~6回}$ 、×は $1 \times 1.0\text{S回以下}$ の印を捺り返し表示であったことを示す。

【0025】

【表1】

被覆樹脂 \times 糊	実験例1 $T_m=230^\circ\text{C}$ 糊約 0.1kg 糊 $1\text{kg}/\text{m}^2$	実験例2 $T_m=360^\circ\text{C}$ 糊 1kg 糊 $1\text{kg}/\text{m}^2$	比較例1 $T_m=180^\circ\text{C}$ 糊 1kg 糊 $1\text{kg}/\text{m}^2$
耐久性(引張強度)	○	○	×

【0026】また、課題 1.0 について、弹性率は $4.00 \times 10^3\text{N/m}^2$ 以下であることが好ましく、厚みは 5.0mm 以下であることが好ましい。弹性率が $4.00 \times 10^3\text{N/m}^2$ より大きいと、インク飛沫に必要なエネルギーを半導体レーザでは得えなくなるからである。また、厚みが 5.0mm より大きいと隔壁の変形自由度が極端に小さくなり、インクが飛沫しなくなるからである。隔壁の弹性率および厚みを異なさせて行った実験例および比較例の結果を次の表 2 に示す。この表において効率の評価は、△（ $1\text{mW半導体レーザを3.0J/m}^2\text{照射、インク飛$

翔に必要な条件）を基準値として、○は△以上、×は△以下であることを示す。なお、△は○よりもさらに効率がよいことを示しており、実験例 4 、 5 を比較すると時同一厚みのアラミドフィルムとポリイミドフィルムとでは弹性率の低い（柔らかい）ポリイミドフィルムの方が同一圧力であっても隔壁を変形させやすく効率が高くなかった。

【0027】

【表2】

隔壁樹脂 \times 糊	実験例4 糊 $0.5\text{kg}/\text{m}^2$ 糊 0.5kg (1.0kg)	実験例5 糊 $0.5\text{kg}/\text{m}^2$ 糊 0.5kg (1.0kg)	比較例2 糊 $0.5\text{kg}/\text{m}^2$ 糊 0.5kg 糊 $0.5\text{kg}/\text{m}^2$	比較例3 糊 $0.5\text{kg}/\text{m}^2$ 糊 0.5kg 糊 $0.5\text{kg}/\text{m}^2$
効率	○	○	△	×

【0028】統一して、液体変形部材 1.0 に對する液体の種類によって応答性および耐久性がどのように異なるかを調べた実験例と比較例を下記の通り、表 3 に示す。これらの表において、耐久性の評価は上記表 1 と同様に行なった。

【0029】表 3 から、液体の沸点 T_b が高くなるほど酸化させるためにレーザ照射時間も長くなる必要がある。応答性が低くなる傾向にあることが分かる。具体的には、沸点 T_b が 250°C 以上であると加热時間がかかり、応答性が 1.0MHz 以下となつて実用上不

BEST AVAILABLE COPY

浦である。これに対し、好ましくは沸点 T_1 が 20°C で以下であるれば 1.6kg/cm^2 以上の粘弹性を有する、少なくとも毎分熱吸収以上のプリントが可能となり实用上好適である。また、液体 $\#2$ に割入される液体が水である場合

には安価であるが、耐久性の面ではオイルの方が勝りで優れている。

【図 3】

	実験例① 水のみ	実験例② 油 $\#2$ (1.6kg/cm^2)	実験例③ 油 $\#2$ (20°C)	比較例④ 油 $\#2$ (20°C)
粘度 η	1.0 cP	0.56 cP	1.63 cP	0.23 cP
粘弹性	7.8 Hz	1.0 Hz	3.7 Hz	6.0 Hz
耐久性	△	△	○~◎	●

【図 3】

【図 4】

	実験例①・② 油 $\#2$ (1.6kg/cm^2)	実験例③ 油 $\#2$ (20°C)	実験例④ 油 $\#2$ (20°C)	比較例⑤ 油 $\#2$ (20°C)
粘度 η	1.0 cP	1.56 cP	0.63 cP	1.63 cP
粘弹性	5.4 Hz	1.4 Hz	1.9 Hz	6.0 Hz
耐久性	○	○	△	○

【図 3】次に、図 $\#1$ ～ 10 を参照して上記インクジェットヘッド $\#10$ の実形例について説明する。なお、実形例についてはインクジェットヘッド $\#10$ と同じ構成部分には同一符号を付して説明を省略する。図 $\#1$ に示すインクジェットヘッドは、隣接するインク加压室 $\#4$ 端が連通部 $\#5$ によってつながっている。これにより、各インク加压室 $\#2$ へのインク補給が速く行われ、耐久性がよくなる。

【図 3】また、図 $\#1$ に示すインクジェットヘッドでは、インク加压室 $\#4$ の断面がインク飛射方向に傾かって搽りに傾くなるように隔壁 $\#7$ が傾斜している。この場合、液体 $\#2$ の加熱によると隔壁 $\#7$ の変形量が一定であっても、インク加压室内でのインクの流動速度がノズル近傍で増加し、インクの飛射速度を上記インクジェットヘッド $\#10$ よりも速くすることができ、印字安定性が向上する。具体的には、インクジェットヘッド $\#10$ と比較するとインク飛射速度が約 5m/s から約 10m/s に増加して約 1.5 倍になった。逆に、上記インクジェットヘッド $\#10$ と同じ速度でインクを飛射させせる場合には、印刷エネルギー量を減らすことができる。半導体レーザ出力を飛射することができ、省エネルギー、等効增加等の効果が得られる。

【図 3】図 $\#10$ に示すインクジェットヘッドでは、熱伝導率 $\#1.4$ の液体 $\#2$ 対向部に複数のフィン状突起部 $\#1.4$ を設け、液体 $\#2$ 内の液体の加熱効率をアップさせたものである。

【図 3】なお、以上に説明したインクジェットヘッ

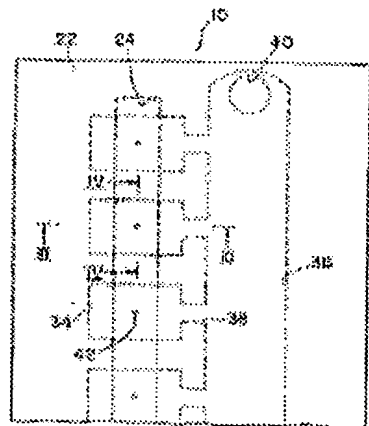
ド $\#10$ およびその実形例では、光源に半導体レーザ装置を用いたが、これに限らず他の光源、例えばLE Dの発振器を用いててもよい。また、記録装置の大きさを気にせざりともよい場合にはガスレーザ装置、固体レーザ装置等を用いててもよい。

【図面の簡単な説明】

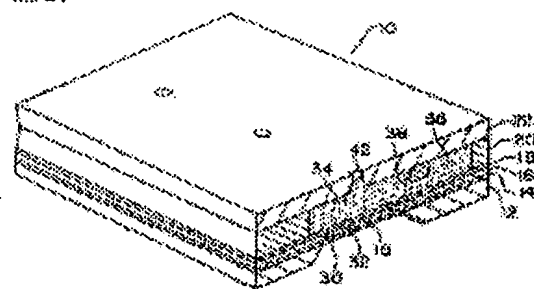
- 【図 1】 本発明にかかるインクジェットヘッドの部分平面図。
- 【図 2】 インクジェットヘッドの断面を含む斜視図。
- 【図 3】 図 1 における $\#1$ ～ $\#10$ 総合断面図。
- 【図 4】 図 1 における $\#1$ ～ $\#10$ 横断面図。
- 【図 5】 レーザ光学系とインクジェットヘッドへのレーザ光照射位置を示す図。
- 【図 6】 印像記録動作の割合を示すフローチャート。
- 【図 7】 インク飛射時の隔壁の変形状態を示す断面図。
- 【図 8】 インクジェットヘッドの実形例を示す部分平面図。
- 【図 9】 インクジェットヘッドの別の実形例を示す部分断面図。
- 【図 10】 インクジェットヘッドのさらに別の実形例を示す部分断面図。
- (内号の説明)
 - 1.0…インクジェットヘッド(インクジェット記録装置)、1.4…熱伝導率(熱変換手段)、1.8…隔壁、2.2…液体室、2.4…インク加压室、4.2…ノズル。

BEST AVAILABLE COPY

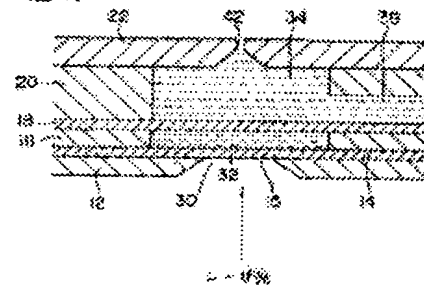
〔圖 7〕



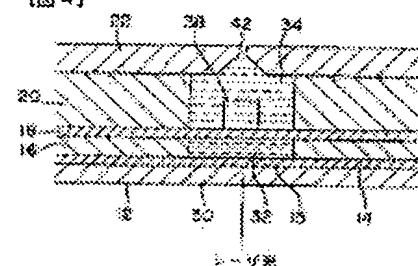
〔四二〕



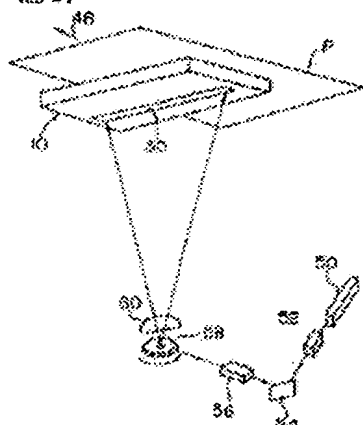
[图3]



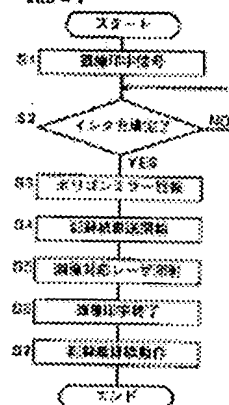
三



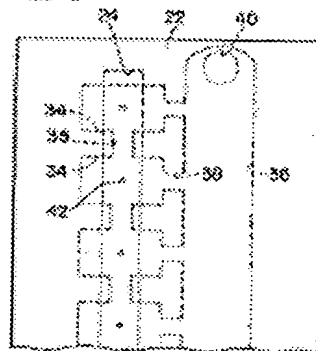
{३५}



५८३

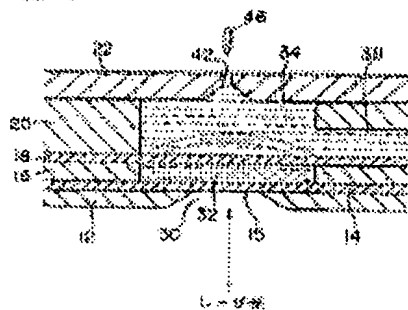


〔四〕

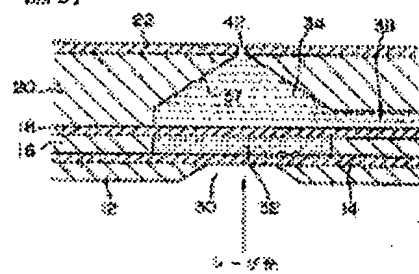


BEST AVAILABLE COPY

(図7)



(図9)



(図10)

